



11-13
SEPT.
2024

LILLE
GRAND PALAIS

CONGRÈS FRANÇAIS d'HÉMOSTASE



Identification de biomarqueurs plasmatiques impliqués dans la régulation des taux de Neutrophil Extracellular Traps

Gaëlle Munsch
Chercheur Post-Doctoral



Neutrophil Extracellular Traps (NETs)

NETs = filaments extracellulaires de chromatine des neutrophiles

→ Attraper & Eliminer les pathogènes

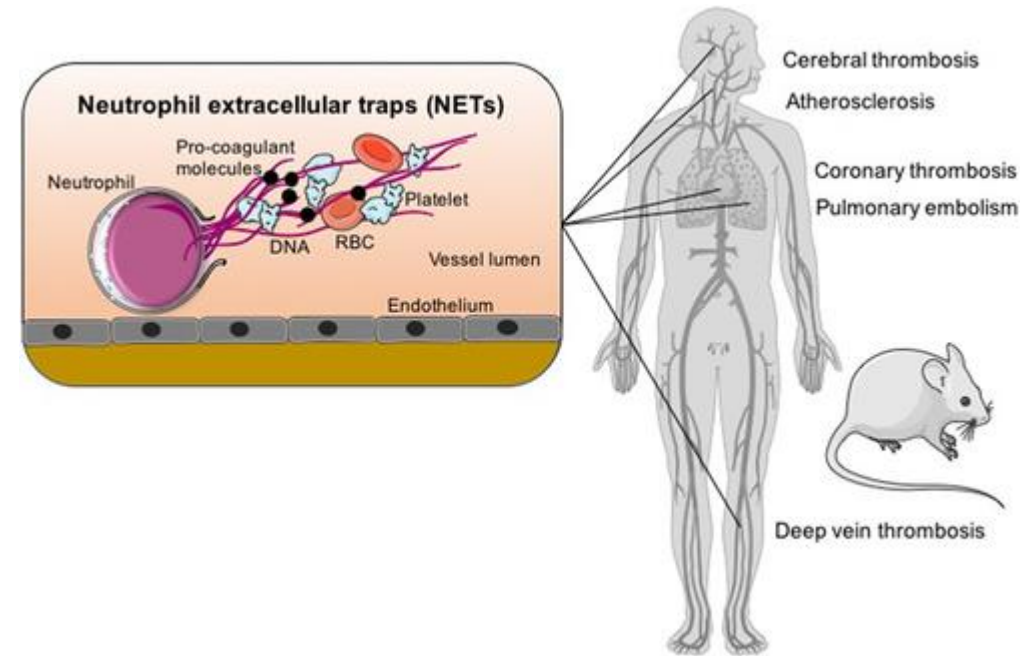
NETs favorisent la coagulation

→ **Inhiber les inhibiteurs naturels de la coagulation**

(TFPI, thrombomoduline)

→ **Activer les facteurs de la coagulation**

(FXII, vWF)



Thalin et al., ATVB (2019)

Genetics of NETs

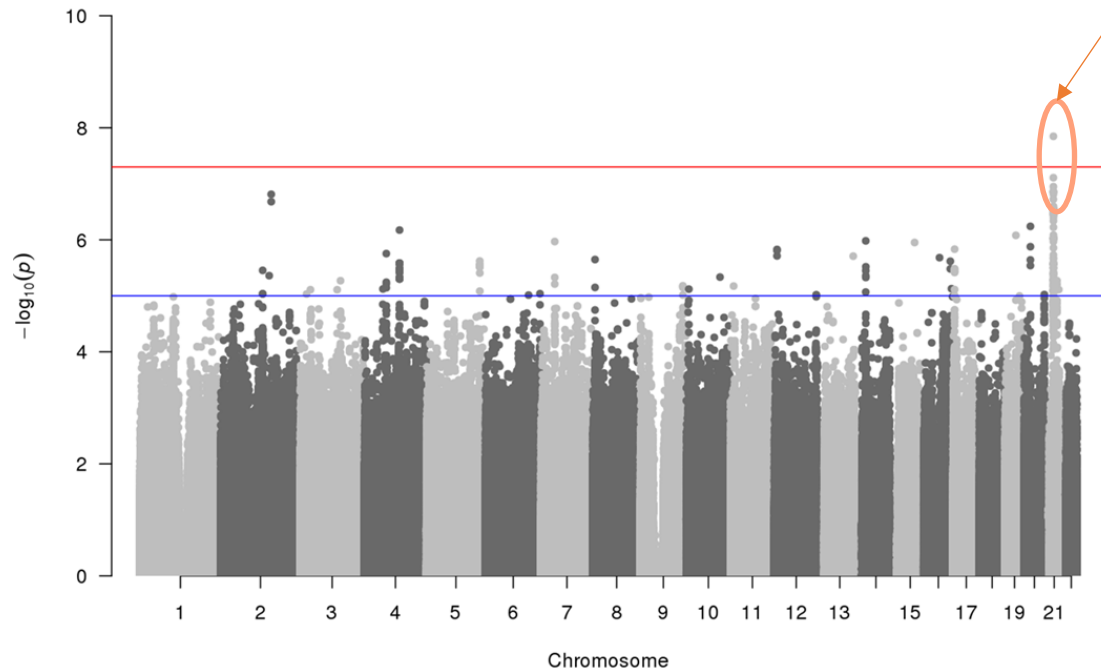
NAR
 Genomics and Bioinformatics

[NAR Genom Bioinform.](#) 2023 Jun; 5(2): lqad062.
 Published online 2023 Jun 28. doi: [10.1093/margab/lqad062](#)

PMCID: PMC10304785
 PMID: [37388819](#)

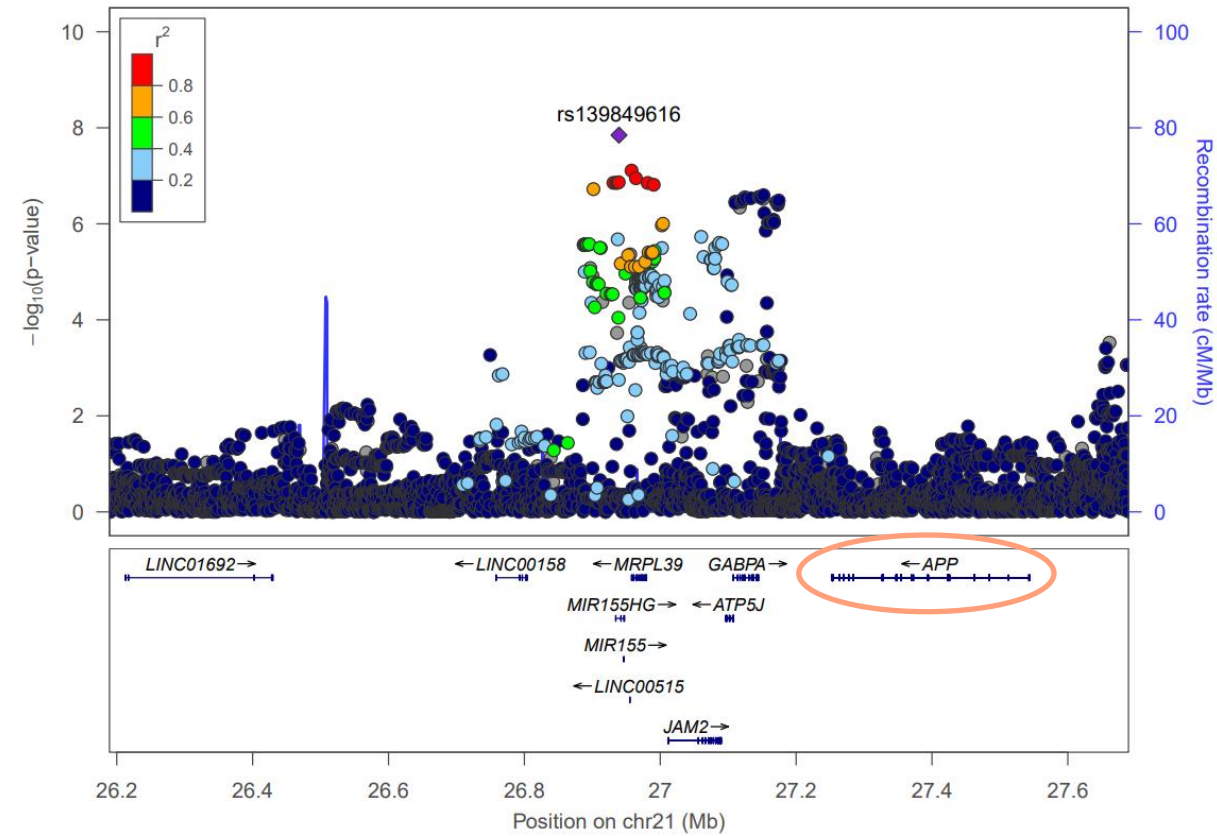
Genome-wide association study of a semicontinuous trait: illustration of the impact of the modeling strategy through the study of Neutrophil Extracellular Traps levels

Gaëlle Munsch,[✉] Carole Proust, Sylvie Labrousche-Colomer, Dylan Aïssi, Anne Boland, Pierre-Emmanuel Morange, Anne Roche, Luc de Chaisemartin, Annie Harroche, Robert Olaso, Jean-François Deleuze, Chloé James, Joseph Emmerich, David M Smadja, Héliène Jacqmin-Gadda, and David-Alexandre Tréguët



rs57502213 ($p = 1.4 \times 10^{-8}$) chr21q21.3

miR-155 (*MIR155HG*)

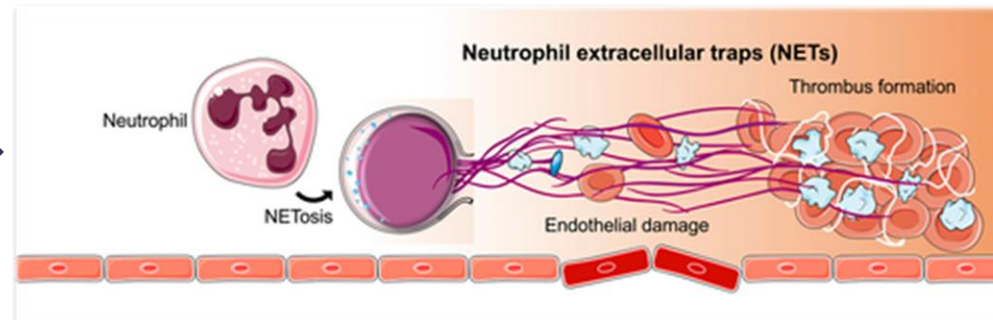


Objectif

Identifier des **biomarqueurs moléculaires** pouvant être impliqués dans la **régulation des NETs** en utilisant des méthodes de **Randomisation Mendélienne**

Biomarqueurs inflammatoires

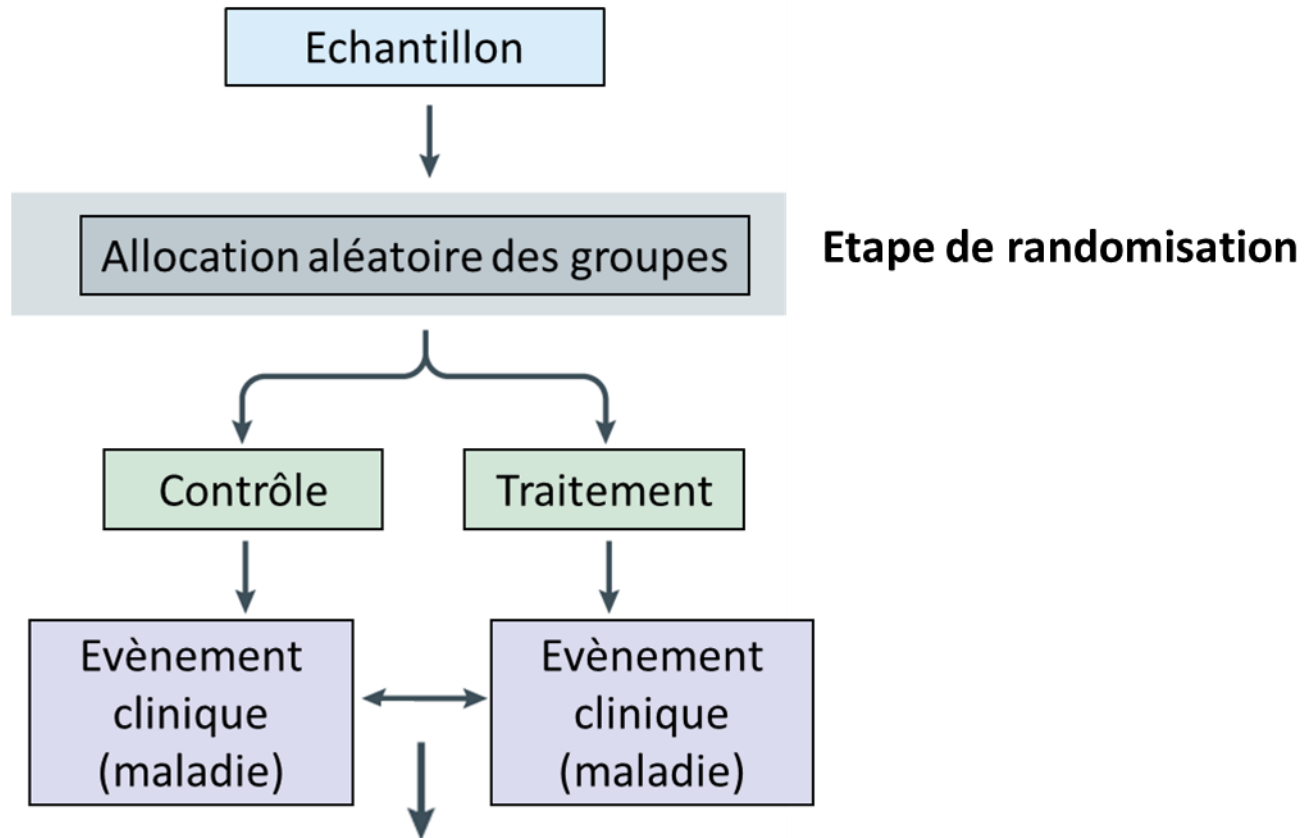
Interleukines,
CRP,
TNF- α ,
...



Ng et al., ATVB (2020)

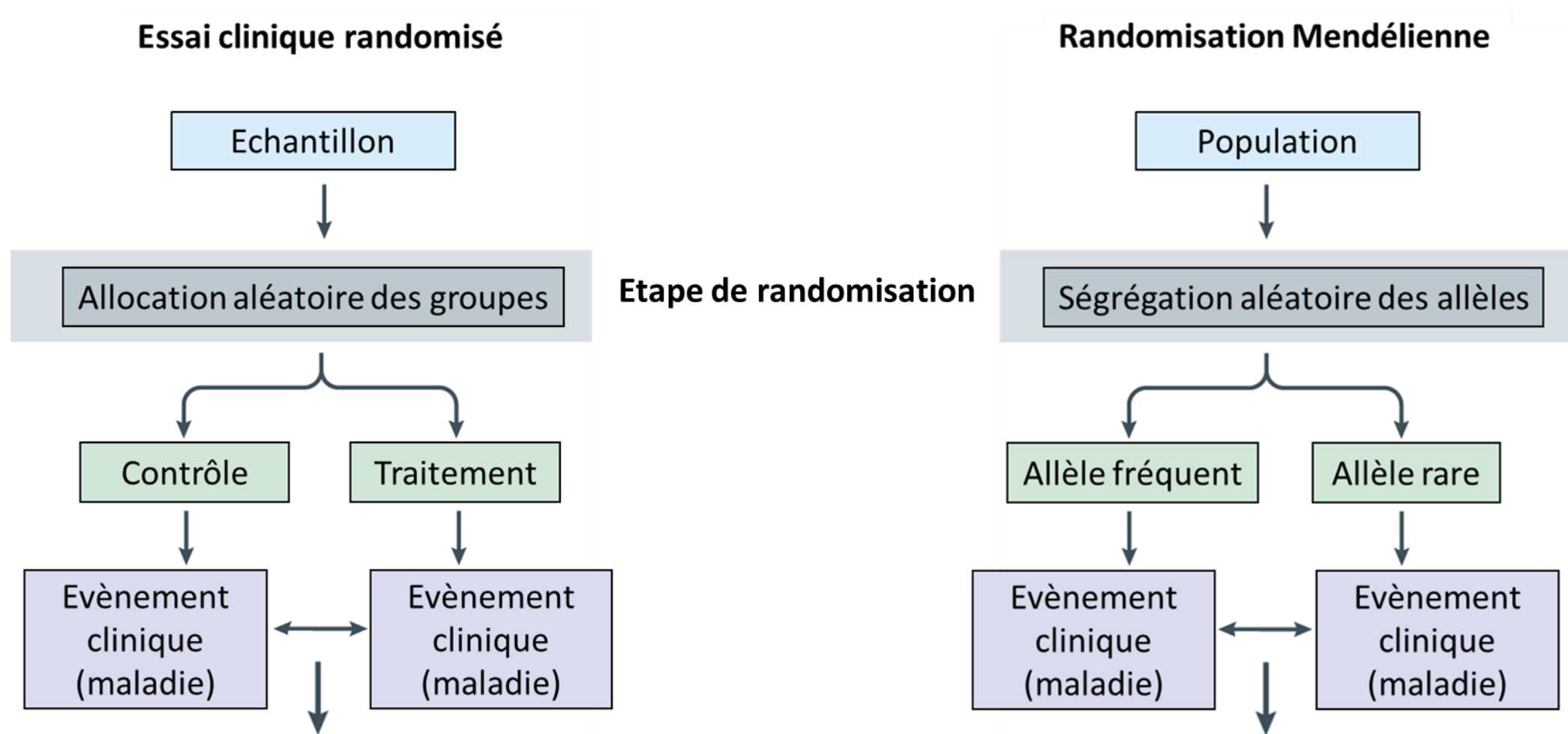
La Randomisation Mendélienne (RM)

Essai clinique randomisé



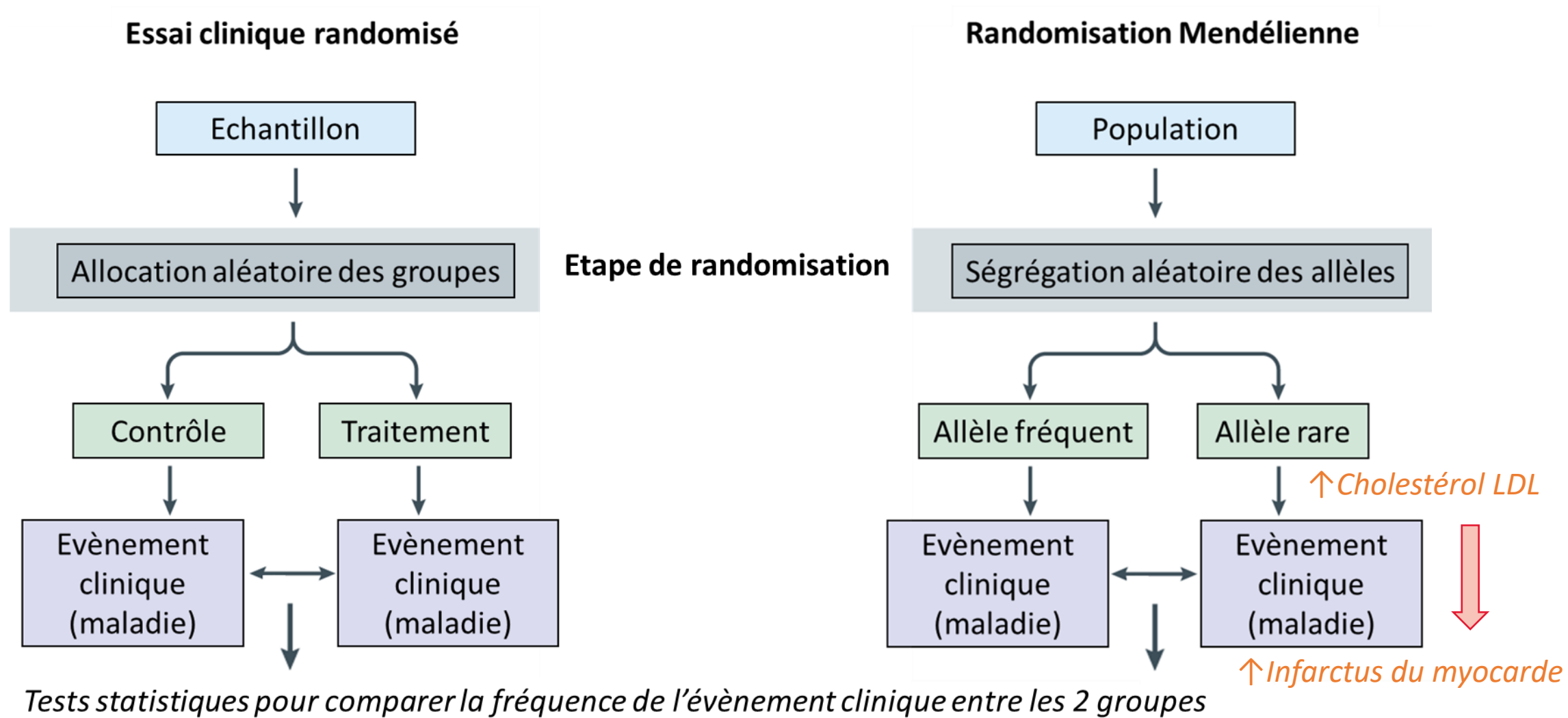
Tests statistiques pour comparer la fréquence de l'évènement clinique entre les 2 groupes

La Randomisation Mendélienne (RM)

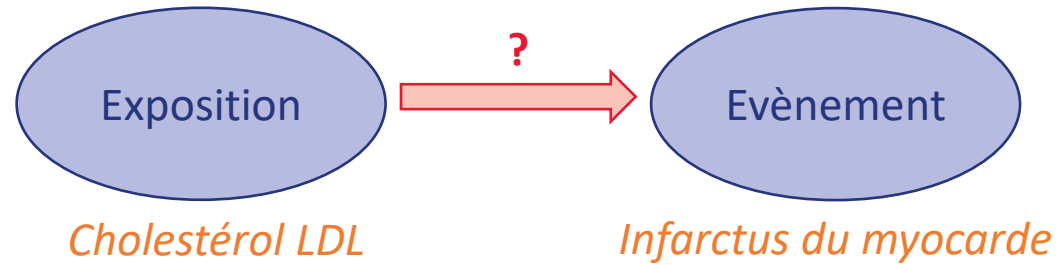


Tests statistiques pour comparer la fréquence de l'évènement clinique entre les 2 groupes

La Randomisation Mendélienne (RM)

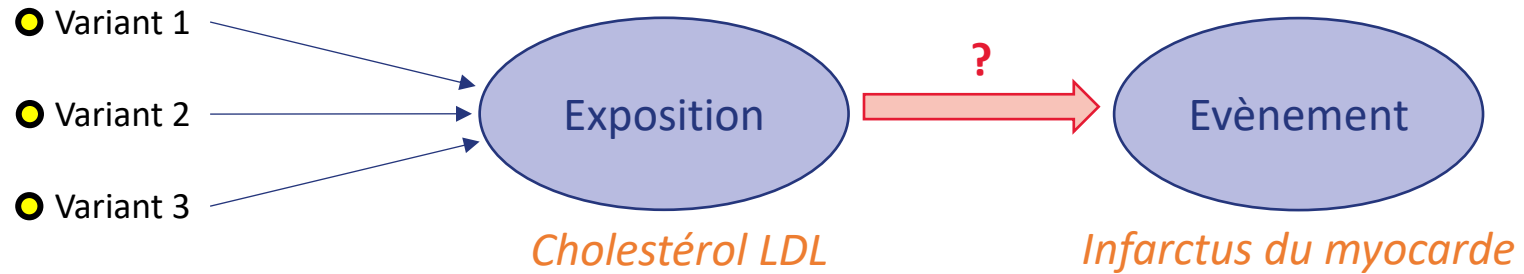


La Randomisation Mendélienne (RM)



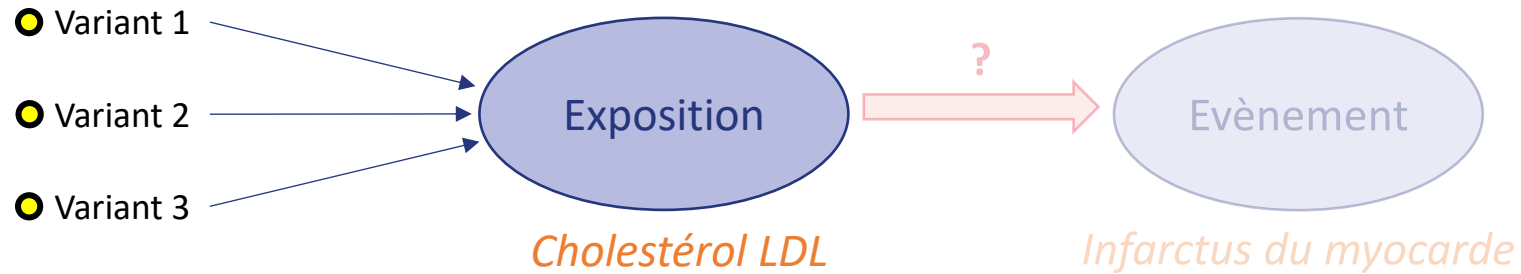
Objectif: Inférer l'effet causal de l'exposition sur l'évènement

La Randomisation Mendélienne (RM)



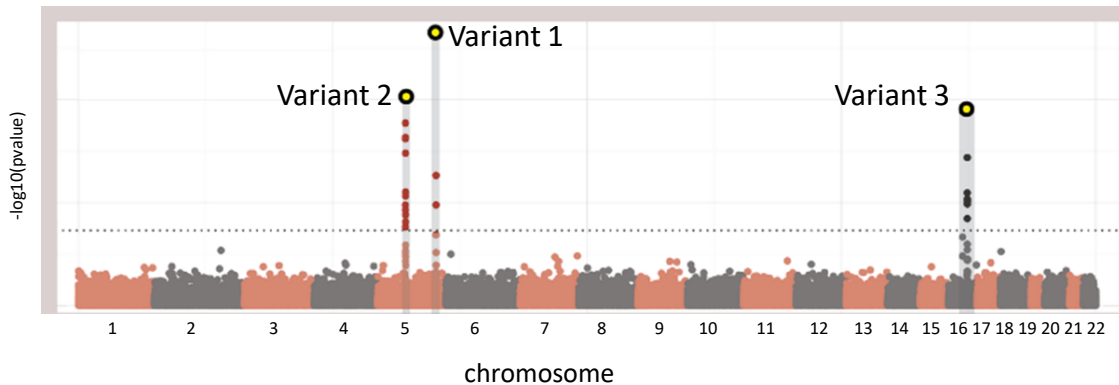
Objectif: Inférer l'effet causal de l'exposition sur l'évènement

La Randomisation Mendélienne (RM)

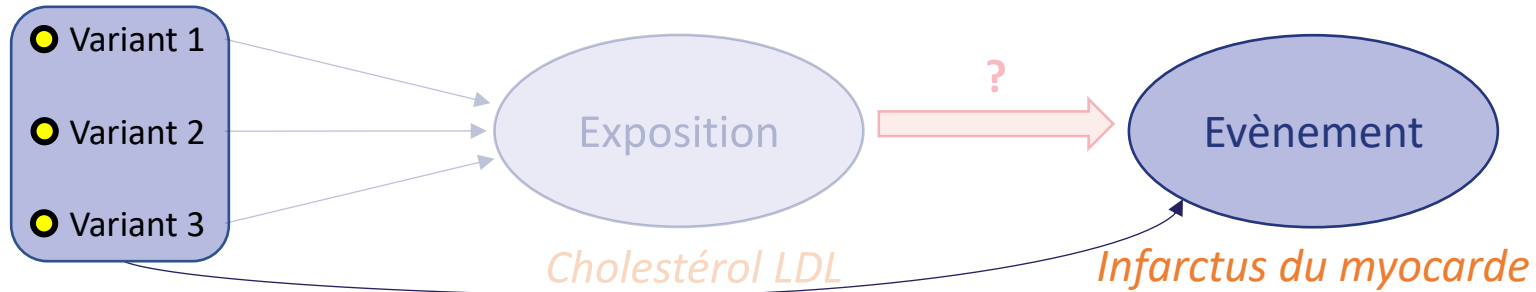


1 Identifier les variants génétiques associés à l'exposition

*Etude d'association pan-génomique (GWAS)
sur les taux de Cholestérol LDL*

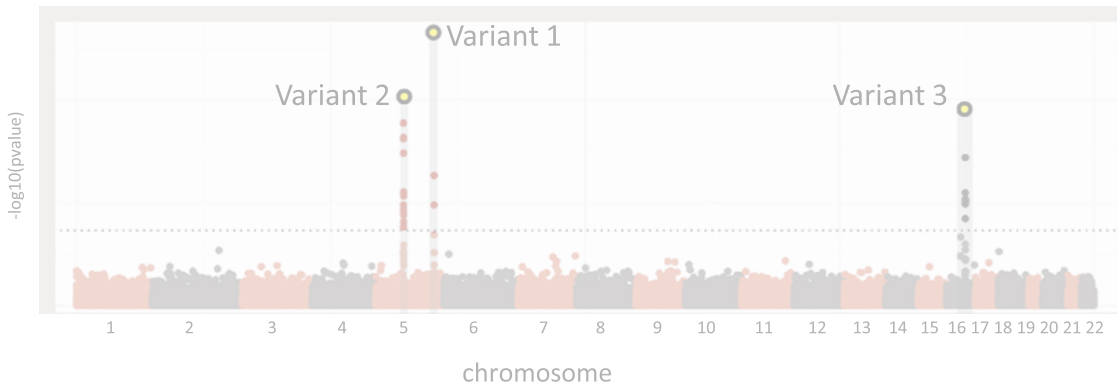


La Randomisation Mendélienne (RM)



① Identifier les variants génétiques associés à l'exposition

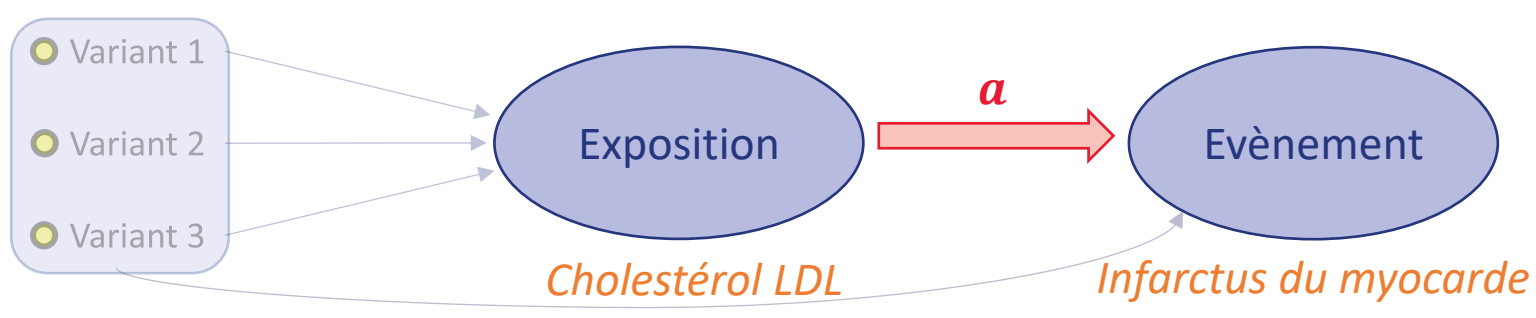
*Etude d'association pan-génomique (GWAS)
sur les taux de Cholestérol LDL*



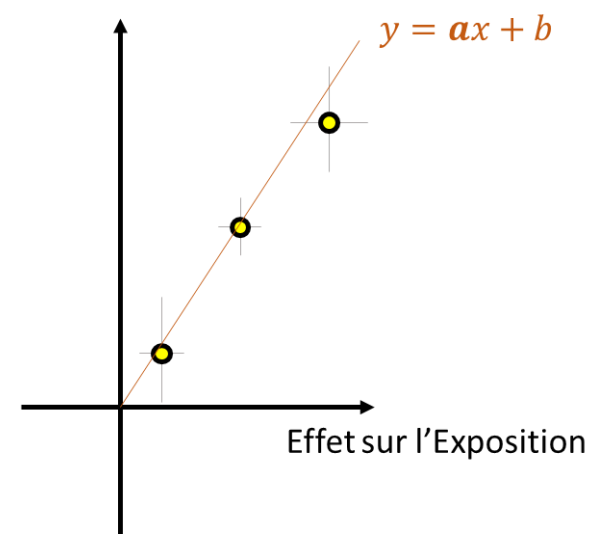
② Estimer l'association entre les variants identifiés et l'évènement

*Effet individuel des 3 variants
sur le risque d'Infarctus du myocarde
(régression logistique, Khi-2...)*

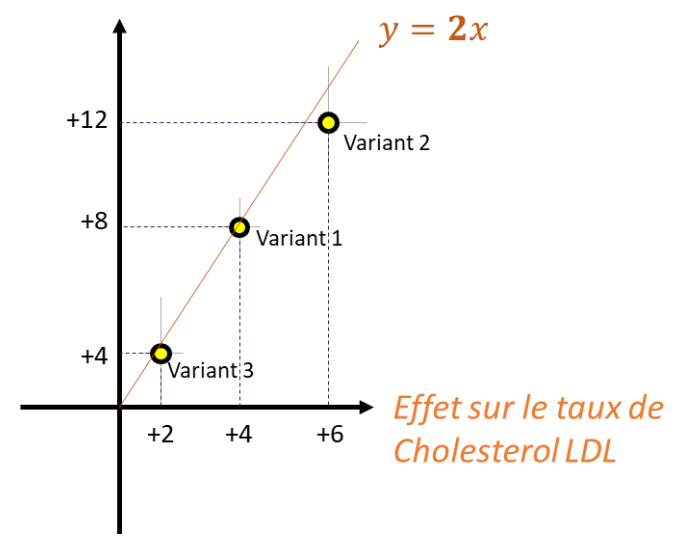
La Randomisation Mendélienne (RM)



Effet sur l'Evènement



Effet sur le risque d'Infarctus du myocarde



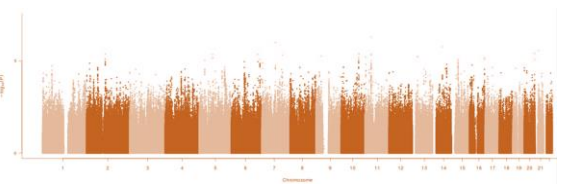
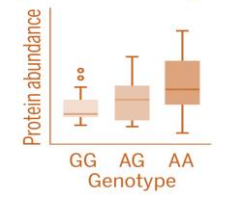
Protéines influençant les taux de NETs

« Exposition »

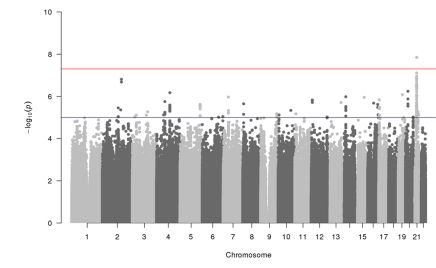
« Evènement »



Genome-proteome-wide association study



Etude FARIVE (N = 657)



Munsch, NAR Genom. Bioinform. (2023)

Projet deCODE (N = 35 559)

~ 3 739 protéines mesurées par Somascan

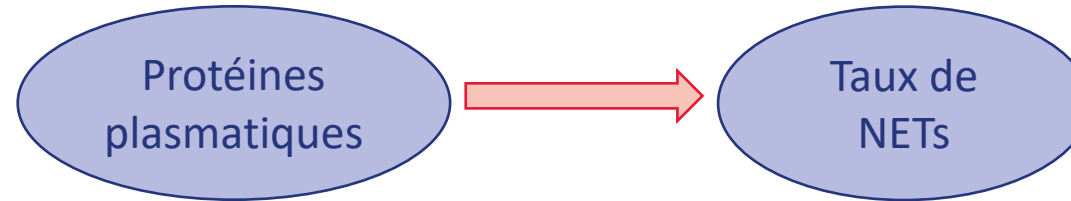
Ferkingstad, Nat Genet (2021)

Etude UK Biobank (N = 34 557)

~ 2 308 protéines mesurées par Olink

Sun, Nature (2023)

Protéines influençant les taux de NETs

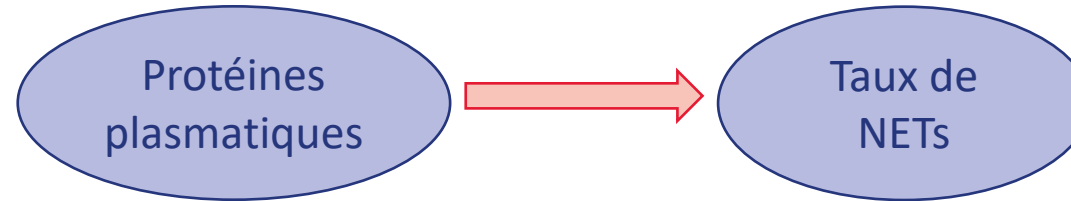


→ Pas de protéines passant le seuil de significativité ($P < 2 \times 10^{-5}$)

Mais de bons candidats :

| Beta | Pvalue | Gène | Protéine |
|-------|----------|----------|---|
| -1,22 | 6,31E-05 | PPBP | Platelet basic protein |
| -1,62 | 7,41E-05 | TINAGL1 | Tubulointerstitial nephritis antigen-like |
| 1,10 | 1,02E-04 | ENOB | Beta-enolase |
| -1,86 | 1,83E-04 | ATP6V1G2 | V-type proton ATPase subunit G 2 |
| -3,08 | 2,88E-04 | APOA4 | Apolipoprotein A-IV |
| -0,37 | 3,02E-04 | PON2 | Serum paraoxonase/arylesterase 2 |
| -1,11 | 3,04E-04 | SPARC | SPARC |
| -1,59 | 3,50E-04 | CBPM | Carboxypeptidase M |
| -1,82 | 4,70E-04 | LAT | Linker for activation of T-cells family member 1 |
| -0,52 | 4,83E-04 | SERPINE2 | Glia-derived nexin |
| -0,28 | 5,88E-04 | LIRA3 | Leukocyte immunoglobulin-like receptor subfamily A member 3 |
| -0,90 | 6,04E-04 | KNG1 | Kininogen-1 |
| 0,66 | 6,11E-04 | KNG1 | Kininogen, HMW, Two Chain |
| -0,96 | 6,60E-04 | APP | Amyloid-beta precursor protein |
| -1,30 | 6,99E-04 | EGF | Pro-epidermal growth factor |
| -0,52 | 8,23E-04 | SIGLEC8 | Sialic acid-binding Ig-like lectin 8 |
| -0,94 | 9,54E-04 | BDNF | Brain-derived neurotrophic factor |
| 0,59 | 1,08E-03 | CCL4 | C-C motif chemokine 4 |
| -1,09 | 1,10E-03 | PF4 | Platelet factor 4 |

Protéines influençant les taux de NETs



→ Pas de protéines passant le seuil de significativité ($P < 2 \times 10^{-5}$)

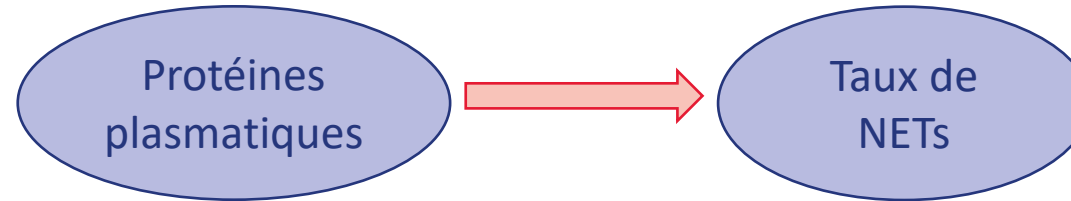
Mais de bons candidats :

“Platelet interaction with activated neutrophils is a potent inducer of NETs”

Kim, Semin Immunol (2016)

| Beta | Pvalue | Gène | Protéine |
|-------|----------|----------|---|
| -1,22 | 6,31E-05 | PPBP | Platelet basic protein |
| -1,62 | 7,41E-05 | TINAGL1 | Tubulointerstitial nephritis antigen-like |
| 1,10 | 1,02E-04 | ENOB | Beta-enolase |
| -1,86 | 1,83E-04 | ATP6V1G2 | V-type proton ATPase subunit G 2 |
| -3,08 | 2,88E-04 | APOA4 | Apolipoprotein A-IV |
| -0,37 | 3,02E-04 | PON2 | Serum paraoxonase/arylesterase 2 |
| -1,11 | 3,04E-04 | SPARC | SPARC |
| -1,59 | 3,50E-04 | CBPM | Carboxypeptidase M |
| -1,82 | 4,70E-04 | LAT | Linker for activation of T-cells family member 1 |
| -0,52 | 4,83E-04 | SERPINE2 | Glia-derived nexin |
| -0,28 | 5,88E-04 | LIRA3 | Leukocyte immunoglobulin-like receptor subfamily A member 3 |
| -0,90 | 6,04E-04 | KNG1 | Kininogen-1 |
| 0,66 | 6,11E-04 | KNG1 | Kininogen, HMW, Two Chain |
| -0,96 | 6,60E-04 | APP | Amyloid-beta precursor protein |
| -1,30 | 6,99E-04 | EGF | Pro-epidermal growth factor |
| -0,52 | 8,23E-04 | SIGLEC8 | Sialic acid-binding Ig-like lectin 8 |
| -0,94 | 9,54E-04 | BDNF | Brain-derived neurotrophic factor |
| 0,59 | 1,08E-03 | CCL4 | C-C motif chemokine 4 |
| -1,09 | 1,10E-03 | PF4 | Platelet factor 4 |

Protéines influençant les taux de NETs



→ Pas de protéines passant le seuil de significativité ($P < 2 \times 10^{-5}$)

Mais de bons candidats :

“Platelet interaction with activated neutrophils is a potent inducer of NETs”

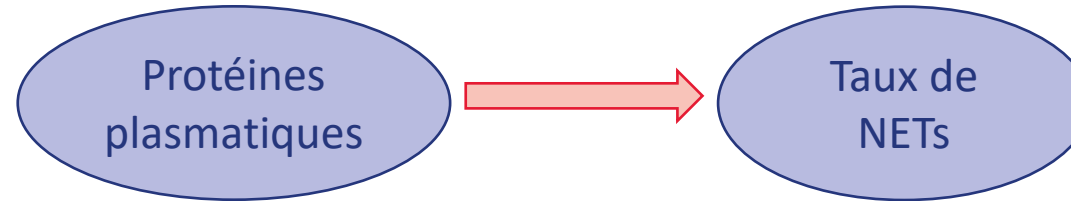
Kim, Semin Immunol (2016)

“Platelet factor 4 limits NETs”

Ngo, JCI Insight (2023)

| Beta | Pvalue | Gène | Protéine |
|-------|----------|----------|---|
| -1,22 | 6,31E-05 | PPBP | Platelet basic protein |
| -1,62 | 7,41E-05 | TINAGL1 | Tubulointerstitial nephritis antigen-like |
| 1,10 | 1,02E-04 | ENOB | Beta-enolase |
| -1,86 | 1,83E-04 | ATP6V1G2 | V-type proton ATPase subunit G 2 |
| -3,08 | 2,88E-04 | APOA4 | Apolipoprotein A-IV |
| -0,37 | 3,02E-04 | PON2 | Serum paraoxonase/arylesterase 2 |
| -1,11 | 3,04E-04 | SPARC | SPARC |
| -1,59 | 3,50E-04 | CBPM | Carboxypeptidase M |
| -1,82 | 4,70E-04 | LAT | Linker for activation of T-cells family member 1 |
| -0,52 | 4,83E-04 | SERPINE2 | Glia-derived nexin |
| -0,28 | 5,88E-04 | LIRA3 | Leukocyte immunoglobulin-like receptor subfamily A member 3 |
| -0,90 | 6,04E-04 | KNG1 | Kininogen-1 |
| 0,66 | 6,11E-04 | KNG1 | Kininogen, HMW, Two Chain |
| -0,96 | 6,60E-04 | APP | Amyloid-beta precursor protein |
| -1,30 | 6,99E-04 | EGF | Pro-epidermal growth factor |
| -0,52 | 8,23E-04 | SIGLEC8 | Sialic acid-binding Ig-like lectin 8 |
| -0,94 | 9,54E-04 | BDNF | Brain-derived neurotrophic factor |
| 0,59 | 1,08E-03 | CCL4 | C-C motif chemokine 4 |
| -1,09 | 1,10E-03 | PF4 | Platelet factor 4 |

Protéines influençant les taux de NETs



→ Pas de protéines passant le seuil de significativité ($P < 2 \times 10^{-5}$)

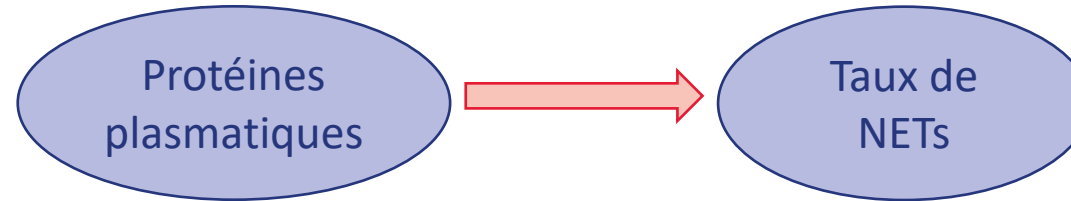
Mais de bons candidats :

| Beta | Pvalue | Gène | Protéine |
|-------|----------|----------|---|
| -1,22 | 6,31E-05 | PPBP | Platelet basic protein |
| -1,62 | 7,41E-05 | TINAGL1 | Tubulointerstitial nephritis antigen-like |
| 1,10 | 1,02E-04 | ENOB | Beta-enolase |
| -1,86 | 1,83E-04 | ATP6V1G2 | V-type proton ATPase subunit G 2 |
| -3,08 | 2,88E-04 | APOA4 | Apolipoprotein A-IV |
| -0,37 | 3,02E-04 | PON2 | Serum paraoxonase/arylesterase 2 |
| -1,11 | 3,04E-04 | SPARC | SPARC |
| -1,59 | 3,50E-04 | CBPM | Carboxypeptidase M |
| -1,82 | 4,70E-04 | LAT | Linker for activation of T-cells family member 1 |
| -0,52 | 4,83E-04 | SERPINE2 | Glia-derived nexin |
| -0,28 | 5,88E-04 | LIRA3 | Leukocyte immunoglobulin-like receptor subfamily A member 3 |
| -0,90 | 6,04E-04 | KNG1 | Kininogen-1 |
| 0,66 | 6,11E-04 | KNG1 | Kininogen, HMW, Two Chain |
| -0,96 | 6,60E-04 | APP | Amyloid-beta precursor protein |
| -1,30 | 6,99E-04 | EGF | Pro-epidermal growth factor |
| -0,52 | 8,23E-04 | SIGLEC8 | Sialic acid-binding Ig-like lectin 8 |
| -0,94 | 9,54E-04 | BDNF | Brain-derived neurotrophic factor |
| 0,59 | 1,08E-03 | CCL4 | C-C motif chemokine 4 |
| -1,09 | 1,10E-03 | PF4 | Platelet factor 4 |

“Neutrophil can be attracted to amyloid-beta plaques [...] and release NETs”

Canalli Kretzschmar, *Front Mol Biosci* (2021)

Protéines influençant les taux de NETs



→ Pas de protéines passant le seuil de significativité ($P < 2 \times 10^{-5}$)

Mais de bons candidats :

| Beta | Pvalue | Gène | Protéine |
|-------|----------|----------|---|
| -1,22 | 6,31E-05 | PPBP | Platelet basic protein |
| -1,62 | 7,41E-05 | TINAGL1 | Tubulointerstitial nephritis antigen-like |
| 1,10 | 1,02E-04 | ENOB | Beta-enolase |
| -1,86 | 1,83E-04 | ATP6V1G2 | V-type proton ATPase subunit G 2 |
| -3,08 | 2,88E-04 | APOA4 | Apolipoprotein A-IV |
| -0,37 | 3,02E-04 | PON2 | Serum paraoxonase/arylesterase 2 |
| -1,11 | 3,04E-04 | SPARC | SPARC |
| -1,59 | 3,50E-04 | CBPM | Carboxypeptidase M |
| -1,82 | 4,70E-04 | LAT | Linker for activation of T-cells family member 1 |
| -0,52 | 4,83E-04 | SERPINE2 | Glia-derived nexin |
| -0,28 | 5,88E-04 | LIRA3 | Leukocyte immunoglobulin-like receptor subfamily A member 3 |
| -0,90 | 6,04E-04 | KNG1 | Kininogen-1 |
| 0,66 | 6,11E-04 | KNG1 | Kininogen, HMW, Two Chain |
| -0,96 | 6,60E-04 | APP | Amyloid-beta precursor protein |
| -1,30 | 6,99E-04 | EGF | Pro-epidermal growth factor |
| -0,52 | 8,23E-04 | SIGLEC8 | Sialic acid-binding Ig-like lectin 8 |
| -0,94 | 9,54E-04 | BDNF | Brain-derived neurotrophic factor |
| 0,59 | 1,08E-03 | CCL4 | C-C motif chemokine 4 |
| -1,09 | 1,10E-03 | PF4 | Platelet factor 4 |

KNG1 & *SERPINE2* sont des facteurs de risque génétique de la **thrombose veineuse**

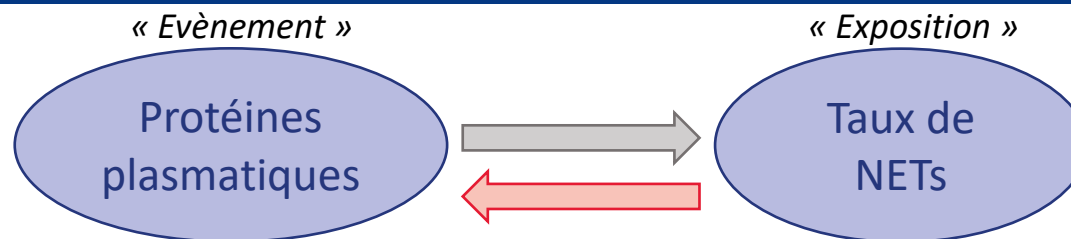
Morange, Blood (2011)

Thibord, Circulation (2022)

KNG1 influence les taux de **FXI**

Sabater-Lleal, ATVB (2012)

Protéines influencées par les NETs



| Beta | Pvalue | Gène | Protéine |
|-------|----------|---------|---|
| 0,01 | 9,53E-05 | CD74 | HLA class II histocompatibility antigen gamma chain |
| 0,01 | 4,10E-04 | SULT2A1 | Bile salt sulfotransferase |
| -0,01 | 4,81E-04 | HAVCR1 | Hepatitis A virus cellular receptor 1 |
| -0,01 | 5,78E-04 | IMPACT | Protein IMPACT |
| -0,01 | 7,68E-04 | HDDC2 | 5'-deoxynucleotidase HDDC2 |
| 0,01 | 9,88E-04 | AKR7L | Aflatoxin B1 aldehyde reductase member 4 |

➔ Aussi connue sous le nom de TIM-1

[J Clin Invest](#). 2022 May 16; 132(10): e154225.
Published online 2022 May 16. doi: [10.1172/JCI154225](https://doi.org/10.1172/JCI154225)

PMCID: PMC9106355
PMID: [35358095](https://pubmed.ncbi.nlm.nih.gov/35358095/)

Neutrophil extracellular traps regulate ischemic stroke brain injury

Frederik Denorme,¹ Irina Portier,¹ John L. Rustad,¹ Mark J. Cody,¹ Claudia V. de Araujo,¹ Chieko Hoki,¹ Matthew D. Alexander,^{2,3} Ramesh Grandhi,^{3,4} Mitchell R. Dyer,⁵ Matthew D. Neal,⁵ Jennifer J. Majersik,² Christian C. Yost,^{1,6} and Robert A. Campbell^{1,7}

[Review](#) > [Mol Neurobiol](#). 2022 Jan;59(1):643-656. doi: [10.1007/s12035-021-02635-z](https://doi.org/10.1007/s12035-021-02635-z).
Epub 2021 Nov 8.

Neutrophil Extracellular Traps Exacerbate Ischemic Brain Damage

Congqin Li¹, Ying Xing¹, Yuqian Zhang¹, Yan Hua¹, Jian Hu¹, Yulong Bai²

Affiliations + expand
PMID: 34748205 DOI: [10.1007/s12035-021-02635-z](https://doi.org/10.1007/s12035-021-02635-z)

[Review](#) > [Pharmacol Ther](#). 2023 Jan;241:108328. doi: [10.1016/j.pharmthera.2022.108328](https://doi.org/10.1016/j.pharmthera.2022.108328).
Epub 2022 Dec 6.

Neutrophil extracellular traps: A novel target for the treatment of stroke

Ziyuan Zhao¹, Zirong Pan¹, Sen Zhang¹, Guodong Ma¹, Wen Zhang¹, Junke Song¹, Yuehua Wang¹, Linglei Kong², Guanhua Du³

Affiliations + expand
PMID: 36481433 DOI: [10.1016/j.pharmthera.2022.108328](https://doi.org/10.1016/j.pharmthera.2022.108328)

[Observational Study](#) > [Arterioscler Thromb Vasc Biol](#). 2020 Jul;40(7):1777-1786.

doi: [10.1161/ATVBAHA.120.314269](https://doi.org/10.1161/ATVBAHA.120.314269). Epub 2020 May 28.

Association of TIM-1 (T-Cell Immunoglobulin and Mucin Domain 1) With Incidence of Stroke

Lu Song^{# 1}, Jiangming Sun^{# 2}, Martin Söderholm^{2 3}, Olle Melander², Marju Orho-Melander², Jan Nilsson², Yan Borné², Gunnar Engström²

Affiliations + expand

PMID: 32460577 DOI: [10.1161/ATVBAHA.120.314269](https://doi.org/10.1161/ATVBAHA.120.314269)

Conclusion & Perspectives

Utilisation de la **Randomisation Mendélienne** pour **identifier des protéines associées aux taux de NETs**

Limite principale : taille de l'échantillon (N = 657) & mesure des NETs dans FARIVE (MPO-DNA)

→ Effet des **plaquettes** sur les taux de NETs : \uparrow *PPBP* & *PF4* \longrightarrow \downarrow NETs

→ Relation **Thrombose veineuse** – *KNG1/FXI* – *SERPINE2* : rôle des **NETs** ?

→ Relation **AVC** – **NETs** : explorer davantage le lien entre *TIM-1* et les taux de NETs



Pr Joseph Emmerich

Pr Pierre-Emmanuel Morange

Pr Chloé James

Pr David M Smadja

Dr David-Alexandre Trégouët